

PC斜張橋の乾燥収縮・クリープ解説(その3)

大阪工業大学 正会員 赤尾 親助
 " " ○栗田 章光

1. まえがき

前報においてはコンクリートの乾燥収縮によるケーブル張力変化の解説式を示した。本文では前報と同様にエネルギー法を用いてマルチケーブルPC斜張橋のクリープによるケーブル張力変化量の算定式を示す。ここで塔の軸変形ならびに主げたの軸および曲げ変形を考慮し、ケーブルの配置およびその本数は任意に選べるものとした。

2. クリープによるケーブル張力変化量($\Delta X_1 \sim \Delta X_n$)。

図1に示すような斜張橋モデルを設えし、クリープを生じる前の各ケーブル張力を $V_1 \sim V_n$ (PS 力を含む)とする。また、持続荷重は $g_1 \sim g_{n+1}$ とする。 $i = z$ 、ケーブル i は着目し、ケーブル、塔、および主げた内に蓄えられたひずみエネルギー (W) を求め $\frac{\partial W}{\partial \Delta X_i} = 0$ よりケーブル i につき次式が得られる。

$$\frac{d_i}{E_c A_{ci}} \Delta X_i + \sum_{j=1}^n (\alpha_{ct,j} + \beta_{cg,j} + \rho_{cg,j} + \zeta_{cg,j}) \Delta X_j = - \sum_{j=1}^i (\eta_{ct,j} + \eta'_{cg,j} + \eta''_{cg,j} + \eta'_{cgm,j} + \eta''_{cgm,j})$$

形状係数 $\alpha_{ct,j} \sim \zeta_{cg,j}$ および荷重項

$\eta_{ct,j} \sim \eta''_{cgm,j}$ は次の通り。

$$j \leq i \quad \alpha_{ct,j} = \sin \theta_{x_i} \sin \theta_{x_j} \sum_{k=1}^i \frac{h_k}{E_{x2} A_{ict,k}}$$

$$j > i \quad \alpha_{ct,j} = \sin \theta_{x_i} \sin \theta_{x_j} \sum_{k=1}^i \frac{h_k}{E_{x2} A_{ict,k}}$$

$$j \leq i \quad \beta_{cg,j} = \cos \theta_{x_i} \cos \theta_{x_j} \sum_{k=1}^i \frac{l_k}{E_{g2} A_{ig2,k}}$$

$$j > i \quad \beta_{cg,j} = \cos \theta_{x_i} \cos \theta_{x_j} \sum_{k=1}^i \frac{l_k}{E_{g2} A_{ig2,k}}$$

$$j \leq i \quad \rho_{cg,j} = \sin \theta_{x_i} \sin \theta_{x_j} \sum_{k=1}^i \frac{A_k}{E_{g2} I_{ig2,k}}$$

$$j > i \quad \rho_{cg,j} = \sin \theta_{x_i} \sin \theta_{x_j} \sum_{k=1}^i \frac{A_k}{E_{g2} I_{ig2,k}}$$

$$j \leq i+1 \quad \zeta_{cg,j} = \sin \theta_{x_i} \sin \theta_{x_j} \sum_{k=1}^{j-1} \frac{B_k}{E_{g2} I_{ig2,k}} (x_j - x_k)$$

$$j > i+1 \quad \zeta_{cg,j} = \sin \theta_{x_i} \sin \theta_{x_j} \sum_{k=1}^{j-1} \frac{B_k}{E_{g2} I_{ig2,k}} (x_j - x_k)$$

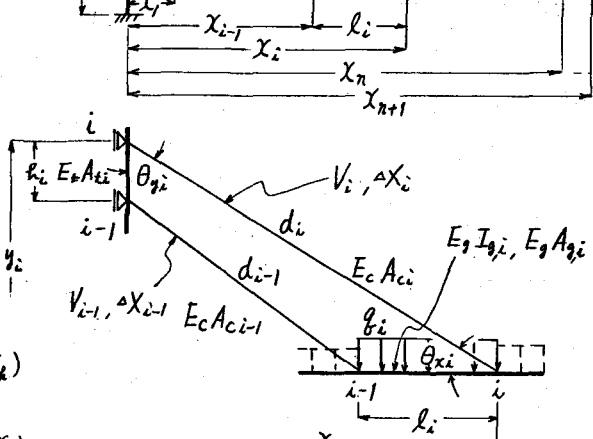
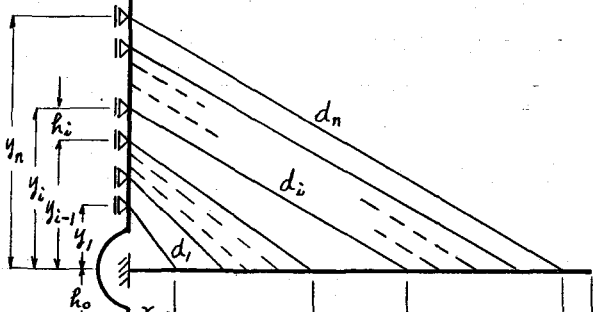


図1. 解説モデルの形状および記号。

$$z = 1, A_k, B_k \text{ } \forall k \leq i \dots A_k = l_k^3/3 + l_k^2(x_i - x_k)/2, B_k = l_k^2/2 + l_k(x_i - x_k).$$

$$\eta_{ct,i} = \frac{\sin\theta_{xi} h_i}{E_{t2} A_{it2,i}} \cdot P_{gt,i}, \quad , \quad P_{gt,i} = \frac{2\varphi_{ec,i}}{2+\varphi_{ec,i}} \cdot \frac{1}{1+2n_e p_{t,i}} \sum_{k=i}^n V_k \sin\theta_{xk}$$

$$\eta'_{c2g,i} = \frac{\cos \theta_{x_i} l_i}{E_{g2} A_{c2g,j}} \cdot P'_{g3,j} , \quad P'_{g3,j} = \frac{2 g_{g3,j}}{2 + g_{g3,j}} \cdot \frac{1}{1 + n_g p_{g,j}} \sum_{k=i}^n V_k \cdot \cos \theta_{x_k}$$

$$\eta''_{cgn,i} = \frac{cos\theta_{x_i} l_i}{E_{g2} A_{izg,i}} \cdot \frac{2 g_{gc,i}}{2 + g_{gc,i}} \cdot \left(\frac{A_{gc} H_e}{I_{ge}} \right) \cdot \left\{ \frac{l_i}{2} \sum_{k=j}^n V_k \sin\theta_{x_k} + \sum_{k=j+1}^n V_k \sin\theta_{x_k} (x_k - x_j) - \sum_{k=j+1}^{n+1} g_k l_k (x_k - x_j - \frac{l_k}{2}) - \frac{g_i l_i^2}{6} \right\}$$

$$\eta'_{cgM,i} = \frac{\sin\theta_{xi}}{E_{g2} I_{i2g2,i}} \cdot \frac{2g_{gc,i}}{2+g_{gc,i}} \cdot (k_2 - k_e) \cdot B_i \sum_{k=i}^n V_k \cos\theta_{xk}$$

$$\eta''_{c9M,i} = \frac{\sin\theta_{xi}}{E_{g2} I_{i2g,i}} \cdot \frac{2\varphi_{gc,i}}{2+\varphi_{gc,i}} \left\{ \frac{I_{gc}}{I_{ge}} \left(1 + \frac{k_0}{k_2} \right) \right\} \left[A_i \sum_{k=j}^n V_k \sin\theta_{xk} + B_j \left\{ \sum_{k=j+1}^n V_k \sin\theta_{xk} (x_k - x_j) - \sum_{k=j+1}^{n+1} g_k l_k (x_k - x_j - \frac{l_k}{2}) \right\} - C_j g_j \right]$$

$$j \leq i \quad \cdots \quad A_j = l_j^3/3 + l_j^2(x_i - x_j)/2, \quad B_j = l_j^2/2 + l_j(x_i - x_j), \quad C_j = l_j^4/8 - l_j^3(x_i - x_j)/6.$$

これは、 φ_{tc} 、 φ_{gc} は $t_B^{\frac{1}{2}}$ および主げたの？

11-70 係数とあり断面定数等は、例え

ば、塔について示せば次の通り。

$$n_t = E_s/E_t, \quad p_{t,i} = (A_{ts}/A_{tc})_i = p'_{t,i}$$

$$E_{t2} = E_t / (1 + \varphi_{tc}/2), \quad n_{t2} = E_s / E_{t2}$$

$$A_{i2t,i} = A_{tc,i} (1 + 2n_{t2} p_{t,i})$$

その他 $\frac{1}{2} \times \frac{1}{2}$ は、^{*2)} 別版ならびに図 1 ~

3 參照文獻。

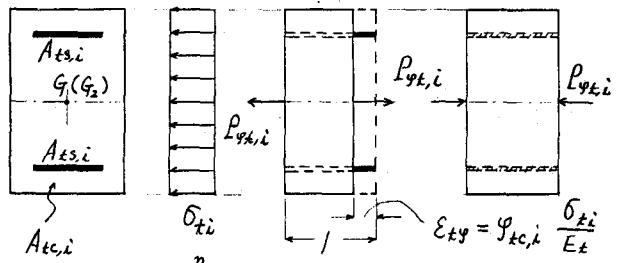


図2 塔の格向 $i z''$ の P_{gt}

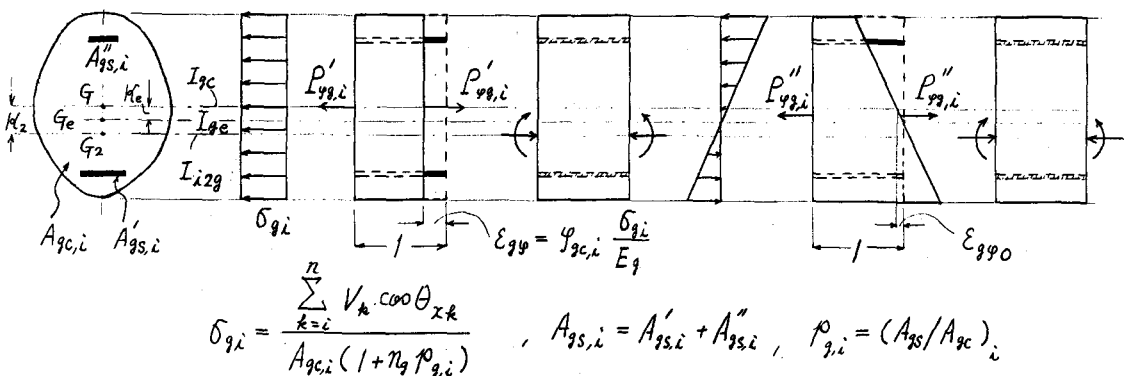


図3. 主げたの格向い z^{α} の $P_{qg}^{'}$, その1也.

*1) 赤尾, 麻田: PC 箱4張橋の乾燥収縮クリップ解説(その1), 土木学会第32回年次大会, V-161, S'52-10.

*2) 末尾、栗田: PC 斜張橋の軋煤収縮率-解説(2), 土木学会第33回年次学会, V-43, S53-9.